

Рис. 1. Расположение района исследований на Сибирской платформе и точки отбора палеомагнитных (белые кружки) и геохимических (черные кружки) проб интрузивных тел долины р. Фомич.

ты). Следовательно, верхний возрастной интервал внедрения этих интрузий ограничивается временем предстарореченского перерыва. Согласно последним данным Rb–Sr-датирования время накопления и диагенеза погружения отложений юсматахской свиты оценивается в 1280–1270 млн лет [2], а K–Ar-возраст старореченской свиты составляет 673–624 млн лет [4].

K–Ar-датировки четырех субвулканических тел бассейна р. Фомич, выполненные Е.С. Кутейниковым с соавторами, составляют 912 (для двух тел), 1100 и 1540 млн лет [4].

Таким образом, подавляющее большинство имевшихся до последнего времени данных указывало на то, что изученные субвулканические тела образовались в интервале 1500–600 млн. лет назад.

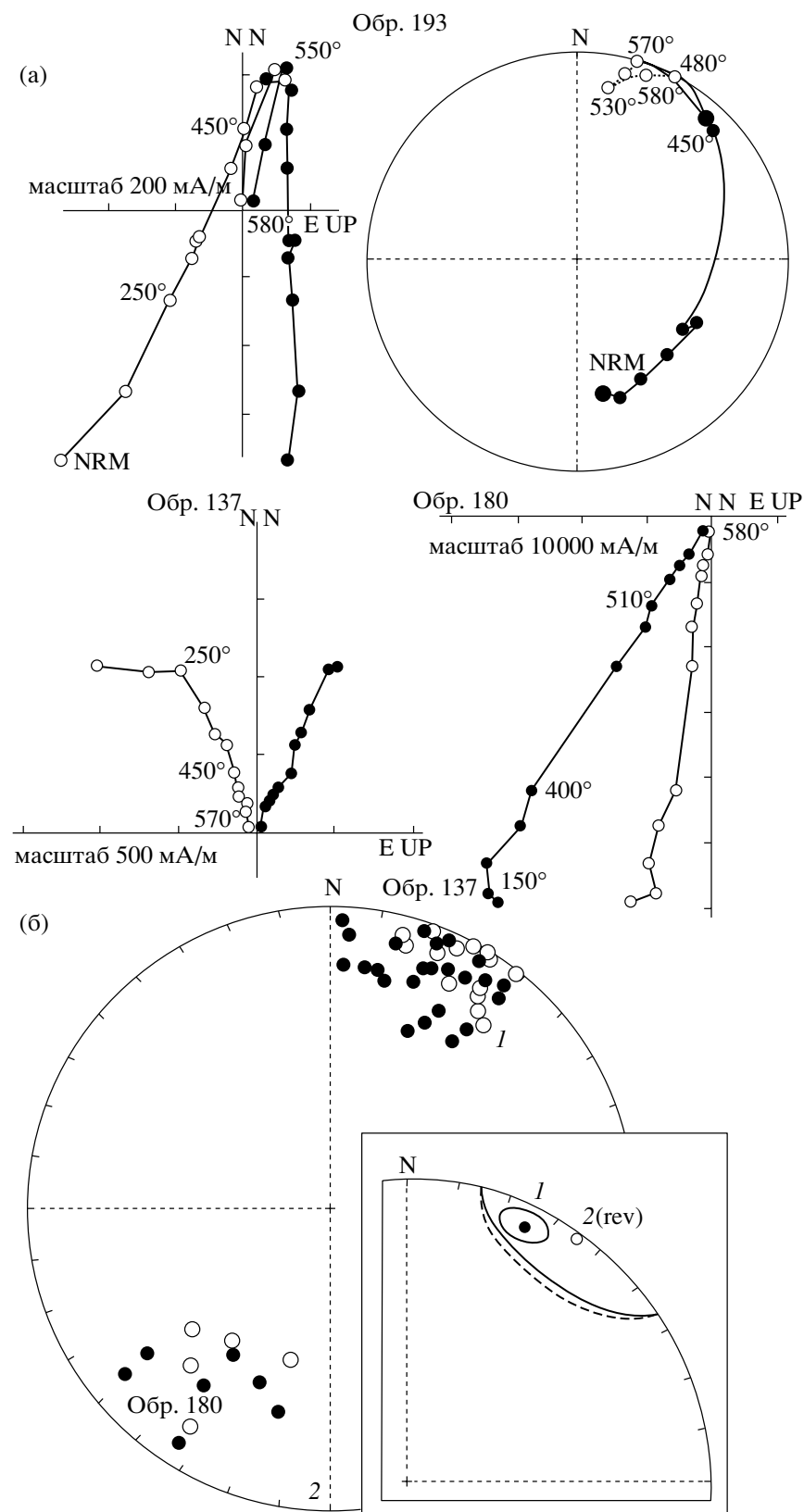
Результаты изотопных исследований. Для определения изотопного возраста были использованы пробы, отобранные из силла, вскрытого в долине р. Фомич, приблизительно в 10 км ниже устья ручья Бурустах (рис. 1, точки 5 и 6). Исследовались валовая проба, а также плагиоклаз, апатит и два пироксена, выделенные из исходного образца с использованием магнитной сепарации и тяжелых жидкостей. Проба пироксен-1 представляла собой очень чисто отобранный гиперстен, тогда как проба пироксен-2 представляла собой тонкую вкрашенность ортопироксена в магнетите. Изотопный состав неодима и самария измерялся на 10-коллекторном масс-спектрометре “Triton TI” в ГЕОХИ РАН с точностью не хуже 0.005% для отношения  $^{143}\text{Nd}/^{144}\text{Nd}$  и 0.1% для отношения  $^{147}\text{Sm}/^{144}\text{Nd}$ . На основе полученных результатов построена изохронная диа-

грамма, по которой возраст изученных долеритов определяется с довольно высокой для используемого метода точностью и составляет  $1513 \pm 51$  ( $2\sigma$ ) млн лет.

Результаты палеомагнитных исследований. За исключением одного силла (рис. 1, точка 13) все изученные тела содержат информацию о направлении древнего геомагнитного поля. Естественная остаточная намагниченность (ЕОН) большинства изученных образцов, как правило, содержит только две компоненты намагниченности – низкотемпературную современную и высокотемпературную древнюю, факт наличия которых легко определяется при анализе результатов температурной магнитной чистки (рис. 2а). Однако в некотором количестве образцов в процессе чистки мы наблюдаем специфическое поведение вектора ЕОН, которое, по аналогии с описанным нами ранее для пермо-триасовых траппов долины р. Столбовой [1], может указывать на частичное самообращение намагниченности (рис. 2а, обр. 193).

Векторы высокотемпературной компоненты образуют биполярное распределение (рис. 2б). Тест обращения [9], выполненный для выделенных направлений на уровне образцов, дает, однако, на 95%-м уровне доверия отрицательный результат ( $\chi/\chi_c = 15.5/14.0$ ), что, возможно, связано с неполным удалением современной компоненты в процессе чистки.

Тем не менее, как показывают практика и простые модельные эксперименты, направления, рассчитанные при осреднении таких биполярных распределений, слабо (часто в пределах овала до-



**Рис. 2.** а – Иллюстрация возможного частичного самообращения намагниченности (обр. 193) и примеры типичных для коллекции диаграмм Зийдервельда (обр. 137 и 180); б – биполярное распределение компонент намагниченности и средние направления для них (среднее направление для кластера 2 обращено). Залитые кружки на диаграммах Зийдервельда (на стереограммах) обозначают проекции векторов на горизонтальную плоскость (нижнюю полусферу), незакрашенные кружки – проекции векторов на вертикальную плоскость (верхнюю полусферу).





5. Павлов В.Э., Галле И., Петров П.Ю. и др. // Геотектоника. 2002. № 4. С. 26–41.
6. Павлов В.Э., Петров П.Ю. // Физика Земли. 1997. № 6. С. 42–55.
7. Condie K.C. // Gondwana Res. 2002. V. 5. № 1. P. 41–43.
8. Ernst R.E., Buchan K.L., Hamilton M.A. et al. // J. Geol. 2000. V. 108. P. 381–401.
9. McFadden P.L., McElhinny M. // Geophys. J. Int. 1990. V. 103. P. 725–729.
10. Meert J.G., Stuckey W. // Tectonics. 2002. V. 21. № 2. 10.1029/2000TC001265
11. Okrugin A.V., Oleinikov B.V., Savvinov V.T., Tomshin M. D. In.: Mafic Dykes and Emplacement Mechanisms. Rotterdam: Balkema, 1990. P. 529–533.
12. Pesonen L.J., Elming S.-A., Mertanen S. et al. // Tectonophysics. 2003. V. 375. P. 289–324.
13. Van der Voo R. // Tectonophysics. 1990. V. 184. P. 1–9.
14. Weil A., Van der Voo R., McNiocail C., Meert J. // Earth and Planet. Sci. Lett. 1998. V. 154. P. 13–24.